

大阪大学工学部環境工学科 正員 ○橋本 楓
大阪大学大学院(現、明電社) 岩堀恵祐

活性汚泥法による下廃水の処理は、世界的に広く普及し、我が国でも水環境の汚濁削減に最も多く用いられる、極めて有効な方法である。しかし、本法は、生物学的方法であるため、流入下廃水の水質水量の変動に対応する適切な操作管理がいくつある。ここでは、流入下廃水の水質水量変動にもかかわらず、絶えず一定濃度の処理水を得ることのできる所謂活性汚泥法の動力学的制御法と、実験結果の一端を報告する。

1. 活性汚泥微生物の増殖と浄化反応動力学

活性汚泥の増殖と基質除去の関係は、経験的・実験的二次式で示される。

$$\frac{1}{S} \frac{dS}{dt} = \mu = Y \frac{1}{S} \frac{dS}{dt} - b \quad (1)$$

ここで、 μ ；活性汚泥微生物濃度(mg/l)、 μ ；活性汚泥微生物の比増殖速度($1/\text{日}$)、 Y ；収率係数(除去基質 K_m 当たりの増殖微生物量 k_g)、 b ；活性汚泥微生物の基質除去速度(mg/l/day)、 b ；活性汚泥微生物の自己分解系数($1/\text{日}$)

また、活性汚泥微生物による基質除去は、次の Michaelis-Menten の式に従う。

$$\frac{1}{S} \frac{dS}{dt} = \frac{k_e \cdot S}{[K_m] + k_e} \quad (2)$$

ここで、 k_e ；単位活性汚泥微生物当たりの最大基質除去速度(mg/mg/day)、 k_e ；処理水の基質濃度(mg/l)、 $[K_m]$ ；飽和恒数(mg/l)

一方、橋本らは、曝気槽内の活性汚泥微生物濃度と基質濃度が、広範囲に変動する場合、活性汚泥の基質除去は、次式に従うことと認めている。

$$\frac{1}{S} \frac{dS}{dt} = \frac{k_e \cdot S}{[K_m] + k_e} \quad (3)$$

$$[K_m] = K_m \cdot S^m \quad (4)$$

(3)式、(4)式から、次式が導かれる。

$$\frac{1}{S} \frac{dS}{dt} = \frac{k_e \cdot S}{K_m \cdot S^m + k_e} \quad (5)$$

したがち、(2)式と(5)式より、活性汚泥微生物濃度 S と基質濃度 k_e が、広範囲に変動する場合は、 $[K_m]$ は恒数ではなく、 S と k_e の関数として次式で示される。

$$[K_m] = K_m \cdot S^m \cdot k_e^n \quad (6)$$

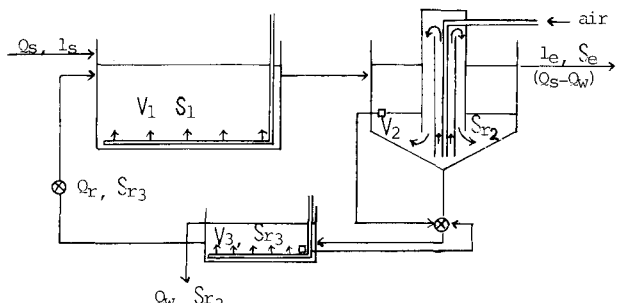
(5)式は、次のように書き換えられる。

$$\frac{1}{S} \frac{dS}{dt} = \frac{k_e \cdot \frac{k_e^n}{S^m}}{K_m + \frac{k_e^n}{S^m}} \quad (7)$$

第1表 活性汚泥の基質除去反応のモデル式

名	K_m , m , n の条件	除去反応の速度式	備考
1	m, n (基礎式)	$\frac{1}{S} \frac{dS}{dt} = \frac{k \cdot 1e^n / S^m}{K_m \cdot 1e^n / S^m}$	橋本
2	$n = 1, m = 0$	$\frac{1}{S} \frac{dS}{dt} = \frac{k \cdot 1e}{K_m + 1e}$	橋本、藤田
3	$n = 1, m = 1$	$\frac{1}{S} \frac{dS}{dt} = \frac{k \cdot 1e \cdot S}{K_m + 1e / S}$	Contois, Fujimoto
4	$n = m (\neq 0)$	$\frac{1}{S} \frac{dS}{dt} = \frac{k \cdot (1e / S)^n}{K_m + (1e / S)^n}$	橋本、藤田、鈴木
5	$m = 0$	$\frac{1}{S} \frac{dS}{dt} = \frac{k \cdot 1e^n}{K_m + 1e^n}$	橋本、藤田
6	$n = 0$	$\frac{1}{S} \frac{dS}{dt} = \frac{k}{K_m \cdot S^m + 1}$	moser
7	$n=1, m=0, K_m \ll 1e$	$\frac{1}{S} \frac{dS}{dt} = \frac{k}{k}$	ゼロ次反応式
8	$n=1, m=0, K_m \gg 1e^n$	$\frac{1}{S} \frac{dS}{dt} = \frac{k}{K_m} \cdot 1e$	一次反応式 Eckenhofeder, Sawyer 式
9	$m=0, n \neq 0, n=1$	$\frac{1}{S} \frac{dS}{dt} = \frac{k}{K_m} \cdot 1e^n$	Freundlich の式
10	$n=m=1, K_m \gg \frac{1e}{S}$	$\frac{1}{S} \frac{dS}{dt} = \frac{k}{K_m} \cdot \left(\frac{1e}{S}\right)$	修正一次反応式
11	$n=m (\neq 0), K_m \gg \left(\frac{1e}{S}\right)^n$	$\frac{1}{S} \frac{dS}{dt} = \frac{k}{K_m} \cdot \left(\frac{1e}{S}\right)^n$	高濃度活性汚泥法の設定と COD 除去

第1図 汚泥返送完全混合式曝気槽の模式図



Q_s ；流入下廃水量($\text{m}^3/\text{日}$)
 Q_r ；引き抜き汚泥量($\text{m}^3/\text{日}$)
 V_1 ；曝気槽容積(m^3)
 V_2 ；汚泥ホッパー容積(m^3)
 V_3 ；汚泥調整槽容積(m^3)
 k_e ；流入下廃水の有機物濃度(mg/l)
 S_e ；処理水の有機物濃度(mg/l)
 S_r ；活性汚泥水の活性汚泥微生物濃度(mg/l)
 S_t ；汚泥調整槽の活性汚泥微生物濃度(mg/l)

ここで、 m, n ；恒数

いよ、(7)式の基礎式をもとに、基質除去反応の各種モデル式の関係をまとめて一括表示すると第1表になる。
(7)式と(1)式より、活性汚泥微生物の増殖と基質除去の関係は、次の一般式で示される。また、(8)式を le について解くと(9)式が得られる。

$$\frac{1}{S} \frac{dS}{dt} = \frac{Y_r R_p \cdot S}{K_m + \frac{R_p}{S}} - b \quad (8)$$

$$le = S^{\frac{1}{n}} \left[\frac{K_m (u+b)}{Y_r R_p - (u+b)} \right]^{\frac{1}{n}} \quad (9)$$

(8)式と同様に、第1表の各基質除去反応モデル式をそれぞれ(1)式に代入すると、活性汚泥微生物の増殖と基質除去に関する各種動力学式が導かれる。実際上は、これらの中で実験的にも実際的にも最もよく適合し、かつ実用性のある動力学モデル式を選択すればよい。

2. 活性汚泥法の制御動力学式

循環返送完全混合式曝気槽の活性汚泥処理工程を模式的に図示すると、第1図のようになる。

ここで、 V_1 を曝気槽容積、 V_2 を汚泥ホッパー容積、 V_3 を汚泥調整槽容積とし、返送率 λ の容積を無視して、この λ 口に曝気槽、汚泥ホッパー、汚泥調整槽内の活性汚泥微生物の物質収支をとれば、次式が得られる。

$$V_1 \left(\frac{dS_1}{dt} \right) + V_2 \left(\frac{dS_2}{dt} \right) + V_3 \left(\frac{dS_3}{dt} \right) = V_1 (Y_r \frac{dR_p}{dt} - b_1 S_1) + V_2 (Y_r \frac{dR_p}{dt} - b_2 S_2) + V_3 (Y_r \frac{dR_p}{dt} - b_3 S_3) - \{Q_w S_{1g} + (Q_e - Q_u) S_e\} \quad (10)$$

ただし、(10)式は、それぞれ曝気槽、汎泥池、汚泥調整槽内の活性汚泥微生物濃度の時間変化(S_1, S_2, S_3)、曝気槽、汎泥池、汚泥調整槽内の基質除去速度(R_p)、 Y_r 、 b_1, b_2, b_3 ：曝気槽、汎泥池、汚泥調整槽内における活性汚泥微生物の収率係数、 b_1, b_2, b_3 ：曝気槽、汎泥池、汚泥調整槽内における活性汚泥微生物自己分解係数(日 $^{-1}$)

ここで、最終汎泥池に入り、活性汚泥微生物は、新たに固形分離され、また、分離装置によって汎泥ホッパー内の活性汚泥微生物は、第1図のよう工アリノトボンニアが抱えず曝気槽流れ、好気状態を保持されている。(10)式は、曝気槽、汎泥ホッパーおよび汎泥調整槽内の活性汚泥微生物の収率係数と自己分解係数は、何れも同一とみはすことができる。ゆえに、 $Y_r = Y_1 = Y_2 = Y_3$ 、 $b_1 = b_2 = b_3 = b$ と置くと、(10)式は次式のよう書き換えることができる。

$$V_1 \left(\frac{dS_1}{dt} \right) + V_2 \left(\frac{dS_2}{dt} \right) + V_3 \left(\frac{dS_3}{dt} \right) = V_1 (Y_r \frac{dR_p}{dt} - b S_1) + V_2 (Y_r \frac{dR_p}{dt} - b S_2) + V_3 (Y_r \frac{dR_p}{dt} - b S_3) - \{Q_w S_{1g} + (Q_e - Q_u) S_e\} \quad (11)$$

定常状態では、左辺は零となるから次式が得られる。

$$V_1 (Y_r \frac{dR_p}{dt} - b S_1) + V_2 (Y_r \frac{dR_p}{dt} - b S_2) + V_3 (Y_r \frac{dR_p}{dt} - b S_3) = Q_w S_{1g} + (Q_e - Q_u) S_e \quad (12)$$

(12)式を整理し、 $Y_r (V_1 S_1 + V_2 S_2 + V_3 S_3) / (V_1 + V_2 + V_3) = le$ と置くと、次式が導かれる。

3. 実験成績

周期的に le と Q_e を変動させ、所定の処理水質を得られるよう(14)式を用いて、ベンチスケールの活性汚泥処理プラントを連続制御し、得られた結果を第2図にプロットした。第2図の実線は、(3)式($m=n=1$)を変形し、これに連続 Fed-Batch 法で求めた動力学パラメータ、 Y_r, b, R_p, K_m, n の値を入れて求めた理論曲線である。これより、本動力学制御法を用いることにより、周期的に変動した場合でも、理論曲線と適合して処理水質が、安定して得られることが判明した。

$$Y \left(\frac{V_1 + V_2 + V_3}{V_1 S_1 + V_2 S_2 + V_3 S_3} \right) le - b = \frac{Q_w S_{1g} + (Q_e - Q_u) S_e}{V_1 S_1 + V_2 S_2 + V_3 S_3} \quad (14)$$

(4)の左辺は、曝気槽、汎泥池ホッパー、汎泥調整槽内の活性汚泥微生物 net の比増殖速度である。また、

(4)式の右辺は、曝気槽、汎泥池ホッパー、汎泥調整槽における活性汚泥微生物 net の平均滞留時間(le)の逆数すなわち le である。

$$le = \frac{Q_w S_{1g} + (Q_e - Q_u) S_e}{V_1 S_1 + V_2 S_2 + V_3 S_3} = \frac{1}{le} \quad (15)$$

また、(4)式で、 $V_1 + V_2 + V_3 = V$ 、 $V_1 S_1 + V_2 S_2 + V_3 S_3 = VS$ とすると、 $\frac{V_1 + V_2 + V_3}{V_1 S_1 + V_2 S_2 + V_3 S_3} = 1$ は、曝気槽、汎泥池ホッパー、汎泥調整槽の三者を含めた平均の活性汚泥濃度である。また、(4)式の左辺の基質除去速度、前に第1表の活性汚泥基質除去反応モデル式を適用すると、種々の条件下、活性汚泥法について適用できる各種動力学制御式が導かれる。

一方、第1図に基づき汎泥池および汎泥調整槽内の活性汚泥微生物の物質収支をみると次式が得られる。

$$(Q_e - Q_u) S_1 = Q_w S_{1g} + Q_w S_{1g} + (Q_e - Q_u) S_e - \frac{(le - b) V_1}{V_1 + V_2 + V_3} S_1 \quad (16)$$

$le - b$ は、それぞれ汎泥池および汎泥調整槽内における活性汚泥微生物の増殖量で、実験的には、曝気槽内を基準として計算され、処理水質が著しく低下するので、 $le - b = 0$ 、 $le - b = 0$ となりやすいが、 $le - b > 0$ の場合は、 $le - b = 0$ とみなすことができる。

$le - b = 0$ 、 $le - b = 0$ より $S_1 = S_{1g} = S_1$ とし(16)式を整理すると次式が得られる。

$$Q_w S_{1g} + (Q_e - Q_u) S_e = (Q_e - Q_u) S_1 - Q_w S_{1g} \quad (17)$$

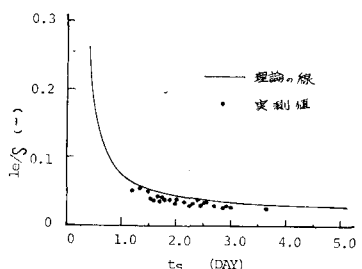
(17)式を(15)式に代入して le について解くと次式が得られる。

$$le = \frac{Q_e - Q_u}{Q_w - (Q_e - Q_u) \frac{S_1}{S_e}} \quad (18)$$

(18)式に、(8)式($m=n=0$)を代入すると次式が得られる。

$$le = \frac{Q_e - Q_u}{Q_w - (Q_e - Q_u) \frac{1}{1 + \left(\frac{Q_w}{Q_e - Q_u} \frac{S_1}{S_e} \right) \left(\frac{1}{K_m} + \frac{b}{Y_r R_p} \right) - b}} \quad (19)$$

上式から希望する処理水質(le)が得られるように Q_e を制御することにより、所定水質の処理水を得るニヒカである。



第2図 活性汚泥プラントの動力学的制御結果
(各プロットは実測値、実線は理論曲線)